

低氧高二氧化碳对肺动脉平滑肌细胞TRPC1/4表达影响及其与细胞增殖、凋亡的关系

郑梦晓^{1,2} 赵美平¹ 张聪聪¹ 贾旭广³ Wu Yiming⁴ 陈锡文⁵ 王万铁^{1*}

(¹温州医科大学病理生理学教研室, 温州 325035; ²黄河科技学院医学院, 郑州 450063; ³四川省宜宾卫生学校内科教研室, 宜宾 644000; ⁴Division of Cardiovascular Medicine University of Iowa Carver College of Medicine, Iowa 52242, USA; ⁵温州医科大学实验动物中心, 温州 325035)

摘要 该文旨在研究低氧高二氧化碳时C型瞬时受体电位通道1(transient receptor potential channel 1, TRPC1)和TRPC4的表达变化与肺动脉平滑肌细胞增殖和凋亡的关系。经免疫荧光鉴定后随机分为5组: 常氧对照组(N)、低氧高二氧化碳组(H)、溶剂二甲基亚砜(dimethyl sulfoxide, DMSO)对照组(D)、TRPC1/4抑制剂SKF-96365组(S)和TRPC1/4激动剂环匹阿尼酸(cyclopiazonic acid, CPA)组(C)。N组置于常氧培养箱(21% O₂、5% CO₂、37 °C)中培养24 h, 其余4组放于低氧高二氧化碳培养箱(5% O₂、6% CO₂、37 °C)中培养24 h。采用逆转录聚合酶链式反应(reverse transcription polymerase chain reaction, RT-PCR)和蛋白质印迹法(Western blot)分别检测TRPC1和TRPC4的mRNA和蛋白质水平; CCK-8法检测各组细胞增殖情况; 原位末端标记法(TdT-mediated dUTP nick-end labeling, TUNEL)检测各组细胞凋亡指数(apoptotic index, AI); Fura 2-AM法检测细胞内钙离子浓度[Ca²⁺]_i。结果发现, H组TRPC1和TRPC4的mRNA和蛋白质水平以及细胞增殖和[Ca²⁺]_i均高于N组($P<0.05$), 而凋亡指数低于N组($P<0.05$)。与H组相比, S组TRPC1/4的mRNA和蛋白质水平以及细胞增殖和[Ca²⁺]_i均降低($P<0.05$), 细胞凋亡增加($P<0.05$); C组TRPC1的mRNA和蛋白质水平以及细胞增殖和[Ca²⁺]_i增加($P<0.05$), 细胞凋亡率下降($P<0.05$), 但C组TRPC4的mRNA和蛋白表达变化无统计学意义($P>0.05$)。以上结果说明, 在低氧高二氧化碳情况下, TRPC1/4的mRNA和蛋白质水平以及[Ca²⁺]_i均增高, 细胞的增殖和凋亡与细胞内TRPC1的表达变化有关。

关键词 低氧高二氧化碳; TRPC; 肺动脉平滑肌细胞; 增殖; 凋亡

The Expression of TRPC1/4 and Its Relationship with Proliferation and Apoptosis of Pulmonary Artery Smooth Muscle Cells under Hypoxic and Hypercapnic Conditions

Zheng Mengxiao^{1,2}, Zhao Meiping¹, Zhang Congcong¹, Jia Xuguang³, Wu Yiming⁴, Chen Xiwen⁵, Wang Wantie^{1*}

(¹Department of Pathophysiology, Wenzhou Medical University, Wenzhou 325035, China; ²School of Medicine, Yellow River Technical College, Zhengzhou 450063, China; ³Department of Internal Medicine, Yibin Health School, Yibin 644000, China;

⁴Division of Cardiovascular Medicine University of Iowa Carver College of Medicine, Iowa City 52242, USA;

⁵Experimental Animal Center, Wenzhou Medical University, Wenzhou 325035, China)

Abstract This work was aimed to study the relationship between TRPC1/4 and pulmonary artery smooth

收稿日期: 2016-03-22 接受日期: 2016-08-01

浙江省科技计划项目(批准号: 2015C37121)和四川省宜宾市重点科技项目(批准号: 2015SF036)资助的课题

*通讯作者。Tel/Fax: +86-577-86689817, E-mail: wwt@wzmc.edu.cn

Received: March 22, 2016 Accepted: August 1, 2016

This work was supported by the Science and Technology Project of Zhejiang Province (Grant No.2015C37121) and the Key Science and Technology Project of Sichuan Province (Grant No.2015SF036)

*Corresponding author. Tel/Fax: +86-577-86689817, E-mail: wwt@wzmc.edu.cn

网络出版时间: 2016-09-19 11:03:10 URL: <http://www.cnki.net/kcms/detail/31.2035.Q.20160919.1103.002.html>

muscle cells (PASMCs) proliferation and apoptosis under hypoxic and hypercapnic conditions. Cellular purity was assessed by immunofluorescence staining for α -SMA under fluorescence microscopy. PASMCs were divided into 5 groups randomly: normoxic group (N), hypoxic and hypercapnic group (H), DMSO group (D), TRPC1/4 inhibitor SKF96365 group (S) and TRPC1/4 activator CPA group (C). N group was incubated under normoxia (5% CO₂, 21% O₂, 37 °C) for 24 h, and the others were incubated under hypoxic and hypercapnic (6% CO₂, 5% O₂, 37 °C) atmosphere for 24 h. *TRPC1/4* mRNA levels were detected by reverse transcription polymerase chain reaction (RT-PCR). *TRPC1/4* protein levels were detected by Western blot. The proliferation assay of PASMCs was performed by CCK-8 kit. The apoptosis of PASMCs was detected using the terminal deoxyribonucleotide transferase-mediated dUTP nick end-labeling (TUNEL) assay. [Ca²⁺]_i was measured in PASMCs using fura 2-AM fluorescence. The results showed that the expression of *TRPC1/4* mRNA and proteins and [Ca²⁺]_i were upregulated under hypoxic and hypercapnic conditions. Hypoxia and hypercapnia promoted PASMCs proliferation and inhibited apoptosis. TRPC1/4 inhibitor SKF96365 reversed the effect of hypoxia and hypercapnia. CPA increased TRPC1 mRNA and protein levels, but neither TRPC4. The levels of *TRPC1/4* mRNA and proteins and [Ca²⁺]_i were upregulated under hypoxic and hypercapnic conditions. TRPC1 has a relationship with PASMCs proliferation and apoptosis.

Keywords hypoxia and hypercapnia; TRPC; PASMCs; proliferation; apoptosis

肺动脉高压(pulmonary hypertension, PH)是一种预后不良的极度严重的疾病,以持续的肺动脉压力增高为特点,最终会导致右心衰竭,甚至死亡^[1]。PH的主要变化是肺血管收缩增强和肺血管结构重构,此变化与肺动脉平滑肌细胞(pulmonary artery smooth muscle cells, PASMCs)的异常增殖密切相关。近年来研究表明,低氧可促进PASMCs的增殖,从而使肺动脉壁增厚,导致肺血管重构并增加肺血管抵抗,最终发展为PH^[2]。

Ca²⁺作为细胞内普遍存在的第二信使,在不同的细胞内参与多种生理过程的调节,包括分泌、基因转录、细胞增殖和凋亡^[3]。在PASMCs中存在的非电压依赖性钙通道(non-voltage-dependent Ca²⁺ channels, non-VDCC)有两种:由G蛋白偶联受体信号通路激活的受体操纵性钙通道(receptor-operated Ca²⁺ channels, ROCC)和由内质网/肌质网中Ca²⁺浓度下降或钙库耗竭所激活的钙库操纵性钙通道(store-operated Ca²⁺ channels, SOCC)^[4-5]。

C型瞬时受体电位(canonical transient receptor potential, TRPC)是一种6次跨膜蛋白,是组成ROCC和SOCC的分子基础^[6]。TRPC共有7个亚型(TRPC1-7),一般认为,TRPC1/4可以被内质网钙库的耗竭激活^[7]。PASMCs中主要表达的是TRPC1、TRPC3、TRPC4和TRPC6^[8-10]。因此,本文主要研究TRPC1和TRPC4的表达变化。

很多低氧性肺病往往伴随着二氧化碳的升高,

已有研究证明,动脉内CO₂分压和肺动脉压力有关系^[11]。目前,关于低氧时TRPC变化的研究很多,但对于低氧高二氧化碳时的研究很少。研究表明,在不同的肺动脉高压模型中TRPC1/4的表达有不同程度的增高,从而增加了ROCC和SOCC^[12-13]。以上结果说明,TRPC1/4在PH的发展中起着重要作用。本文旨在研究低氧高二氧化碳时TRPC1和TRPC4的表达变化与细胞增殖和凋亡的关系。

1 材料与方法

1.1 动物、试剂与药品

健康Sprague-Dawley(SD)雄性大鼠30只,SPF级,体重为200±20 g,由温州医科大学动物实验中心提供,动物许可证号:SCXK(浙)2010-0044。主要试剂和药品有:I型胶原酶(Biosharp公司)、胎牛血清(Gibco公司)、DMEM(dulbecco's modified eagle medium)高糖培养基(Gibco公司)、SKF-96365和CPA(Sigma公司)、逆转录试剂盒(天根生化科技有限公司)、BCA蛋白质定量试剂盒(Thermo公司)、兔抗大鼠TRPC1多克隆抗体(Sigma公司)、兔抗大鼠TRPC4多克隆抗体(Sigma公司)、辣根过氧化物酶(horseradish peroxidase, HRP)标记的羊抗兔二抗(上海博蕴生物科技有限公司)、CCK-8试剂盒和Fura 2-AM(日本同仁化工)、TUNEL试剂盒(Roche公司)、 α -平滑肌肌动蛋白(alpha-smooth muscle actin, α -SMA)(宝生物工程大连有限公司)、异硫氰酸荧光

素(fluorescein isothiocyanate, FITC)标记的荧光二抗(上海谱振生物有限公司)。

1.2 离体培养肺动脉平滑肌细胞(PASMCs)

10%水合氯醛腹腔注射(0.33 mL/100 g)SD雄性大鼠,麻醉后,用酒精棉擦拭全身。迅速取出心肺,于超净台中轻柔分离2~3级肺动脉。剥离外膜,并尽量去除内膜。将平滑肌放入0.2%的胶原酶I中,剪成 1 mm^3 大小的组织块,37 °C培养箱内静置30 min。离心后去除胶原酶I,加入含20%胎牛血清的培养液(含1%100×青、链霉素),吹打使组织块悬浮,接种至培养瓶中。37 °C、5% CO₂培养箱中培养至第3 d见细胞贴壁后,将培养液加至3 mL继续培养,第6 d即可传代。生长良好的4~6代细胞用无血清DMEM饥饿培养24 h后,随机分为5组:常氧对照组(N)、低氧高二氧化碳组(H)、溶剂DMSO对照组(D)、TRPC1/4抑制剂30 μmol/L SKF-96365组(S)和TRPC1/4激动剂10 μmol/L CPA组(C)。N组置于21% O₂、5% CO₂常氧培养箱中培养24 h,其余4组放于5% O₂、6% CO₂低氧高二氧化碳培养箱培养24 h。

1.3 大鼠PASMCs鉴定——α-SMA免疫荧光检测

PASMCs制成细胞悬液,吹打混匀后接种到铺有盖玻片的6孔板中,待细胞汇合达80%时进行实验^[14]。用PBS洗3次,4%甲醛溶液室温下固定后PBS清洗。1% BSA+0.3% Triton X-100配置的封闭液孵育1 h,弃去封闭液。取α-SMA一抗,稀释后室温孵育1.5 h, PBS洗3次。荧光二抗稀释后,室温孵育1 h, PBS洗3次。DAPI室温下避光孵育5 min, PBS洗3次。50%甘油封片后于荧光显微镜下观察并拍片。

1.4 RT-PCR检测细胞TRPC1/4 mRNA水平

用Trizol裂解细胞提取细胞总RNA,紫外分光度计测RNA浓度。取2 μg总RNA逆转录成cDNA。PCR反应体系共25 μL,其中cDNA和上、下游引物各1 μL。TRPC1上游引物序列为5'-AGG CCA CAG AGT GCA GAC A-3',下游引物序列为5'-AAG CGC ATA ATC CCA TTG TAG-3';TRPC4上游引物序列为5'-GCG TGC TGC TGA TAA CTT GA-3',下游引物序列为5'-TGC GTT GGC TGA CTG TAT TG-3';β-actin上游引物序列为5'-CGT TGA CAT CCG TAA AGA C-3',下游引物序列为5'-TGG AAG GTG GAC AGT GAG-3'。TRPC1和内参β-actin的反应条件为94 °C预变性6 min,94 °C变性1 min,59 °C退火1 min,72 °C延伸1 min,重复30个循环。TRPC4反应条件为95 °C预变性15 min,

94 °C变性15 s,62 °C退火20 s,72 °C延伸20 s,循环次数为45个。配制1.5%的琼脂糖凝胶电泳约30 min后,用UV-800全自动凝胶成像分析系统曝光成像。Quantity One软件分析电泳条带灰度值,用目的基因与β-actin基因灰度值之比表示目的基因的表达水平。

1.5 Western blot检测细胞TRPC1和TRPC4蛋白水平

苯甲基碘酰氟(phenylmethanesulfonyl fluoride, PMSF)和API的比例为1:100配置成裂解液,使细胞充分裂解。低温12 000 r/min离心20 min后,吸取上清。用BCA蛋白浓度测定试剂盒测定蛋白质浓度。电泳结束后按分子量大小进行转膜,1 kDa转膜1 min。用一抗稀释液稀释一抗(TRPC1/4为1:500,内参为1:5 000),采用反铺法4 °C静置孵育过夜。TBST洗膜后,用HRP标记的山羊抗兔二抗室温孵育1 h,TRPC1和内参所用二抗比例为1:50 000,TRPC4所用二抗比例为1:20 000。洗膜后滴加化学发光检测试剂,暗室中用X胶片感光1 min,显影2 min,定影30 s即可。扫描底片,Quantity One软件分析条带灰度值,用目的蛋白与β-actin蛋白质灰度值之比表示目的蛋白质水平。

1.6 CCK-8法检测细胞增殖情况

取4~6代PASMCs制成细胞悬液,密度约为 $2.5\times10^3/\text{mL}$ 。吹打混匀加入96孔板,每孔200 μL,约5 000个细胞。每组设置6个复孔,实验孔周围加一圈PBS以防实验孔培养液蒸发过快。待细胞生长状态良好换无血清DMEM饥饿培养24 h,PBS洗3次,加药造模。取出96孔板,去净培养液,加入110 μL CCK-8混合液。放入37 °C培养箱30 min,用酶标仪450 nm处测吸光度(D),每隔30 min测量一次,记录D值。

1.7 TUNEL法检测细胞凋亡指数

用TUNEL试剂盒检测细胞凋亡指数。处理好的细胞用PBS清洗,4%多聚甲醛固定,曲拉通破膜(阳性对照:破膜后加入100 μL DNase I反应液,37 °C水浴30 min)。用胎牛血清和小牛血清白蛋白溶液封闭后,滴加反应液50 μL(阴性对照:此步骤不加TdT),置湿盒内避光孵育60 min。3% H₂O₂甲醇溶液孵育10 min以阻断内源性过氧化物酶。滴加POD 50 μL,置湿盒内37 °C水浴30 min。DAB显色后自来水冲洗终止反应。滴加苏木精复染30 s。逆浓度梯度乙醇脱水后用二甲苯透明,待其干燥后中性树胶封片。

显微镜下观察细胞核被染成棕褐色者为阳性细胞。随机选出5个视野, 凋亡指数(apoptotic index, AI)=视野内的阳性细胞数/视野内总细胞数×100%。

1.8 Fura 2-AM双波长法检测细胞内钙离子浓度

造模结束的细胞用磷酸缓冲盐溶液(phosphate buffer saline, PBS)洗3次。胰酶消化悬浮细胞, 离心后去上清, PBS洗3次以彻底去除胰酶和培养液。加入200 μL浓度为5 μmol/L的Fura 2-AM工作液, 置于37 °C培养箱孵育40 min。去除Fura 2-AM工作液, PBS清洗以彻底去除Fura 2-AM工作液。最后, 每管加入200 μL的PBS吹打混匀, 转移到黑色96孔酶标板中, 用酶标仪检测。设定发射波长为510 nm, 激发波长为340 nm和380 nm, 此时测得的F340/F380荧光强度比值为R。然后加入Triton X-100破膜10 min, 使Fura 2-AM与Ca²⁺结合达到饱和状态, 此时用酶标仪测得的F340/F380荧光强度比值为Rmax。再加入Ca²⁺螯合剂EGTA(ethylene glycol tetraacetic acid)充分反应10 min, 以螯合所有的Ca²⁺, 此时用酶标仪测得的F340/F380荧光强度比值为Rmin。细胞内钙离子浓度的计算公式为: [Ca²⁺]=Kd[(R-Rmin)/(Rmax-R)]

(Fmin/Fmax)。式中的Kd为Fura 2-AM与Ca²⁺结合反应的解离常数, 细胞内环境下为224 nmol/L。Fmin和Fmax分别为Ca²⁺被完全螯合和Ca²⁺饱和时, 激发波长为380 nm时测得的荧光强度值。

1.9 统计学处理

采用SPSS 17.0软件进行统计分析, 计量资料进行正态性检验, 数据用均数±标准差($\bar{x} \pm s$)形式表示。多组样本均数比较进行方差齐性检验, 组间比较采用单因素方差分析(One-Way ANOVA), 方差齐性者两两比较采用LSD法, 方差不齐者进行Dunnett's T3检验, 以P<0.05为差异有统计学意义。

2 结果

2.1 α-SMA免疫荧光检测鉴定大鼠PASMCs

大鼠PASMCs原代培养4 d后, 可见有大量长梭形细胞从组织块爬出贴壁生长。普通光学显微镜下显示细胞呈长梭形或多角形, 细胞核呈卵圆形位于中央, 细胞具有长短不等的伪足(图1)。孵育荧光抗体后于荧光镜下可见胞质内发绿色荧光的是FITC标记的α-SMA, α-SMA与细胞长轴平行且呈纤维细

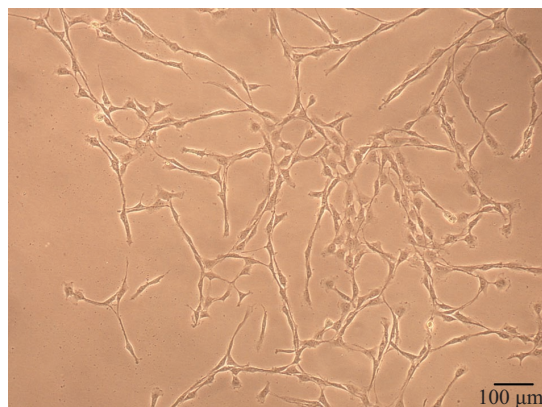


图1 原代大鼠肺动脉平滑肌细胞

Fig.1 Primary rat PASMCs

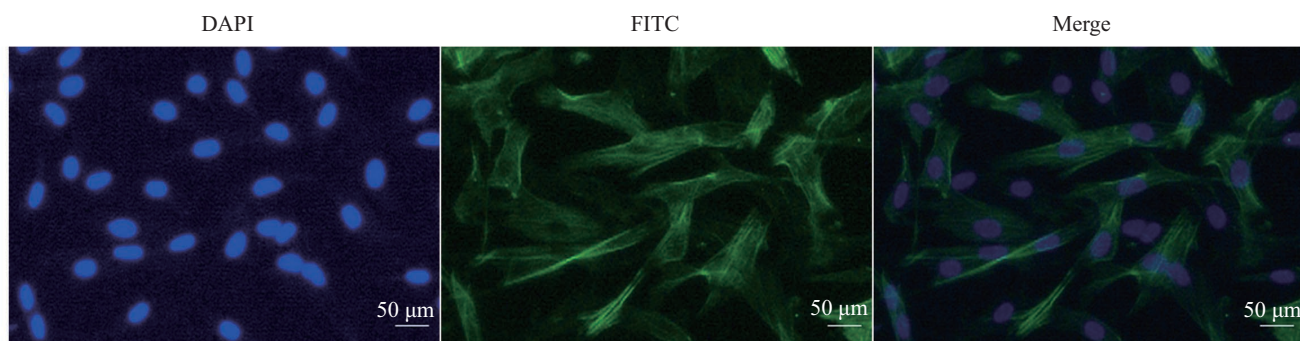


图2 大鼠肺动脉平滑肌细胞免疫荧光图

Fig.2 Immunofluorescence staining of rat PASMCs

丝状；发蓝色荧光的是DAPI标记的细胞核，位于细胞中央呈卵圆形(图2)，即可鉴定为PASMCs，约99%的细胞为PASMCs。

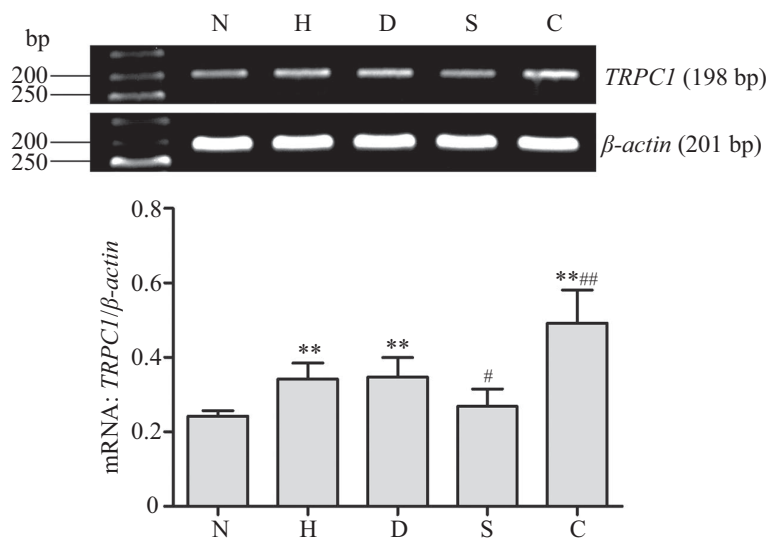
2.2 低氧高二氧化碳对PASMCs中 $TRPC1/4$ mRNA表达水平的影响

低氧高二氧化碳时 $TRPC1/4$ mRNA水平均明显增高($P<0.01$ 、 $P<0.05$)。SKF-96365可使低氧高二氧化碳时 $TRPC1/4$ mRNA水平降低($P<0.05$)。CPA

可促进 $TRPC1$ mRNA的表达($P<0.01$)，但对 $TRPC4$ 无明显影响($P>0.05$)(图3和图4)。

2.3 低氧高二氧化碳对PASMCs中 $TRPC1/4$ 蛋白水平的影响

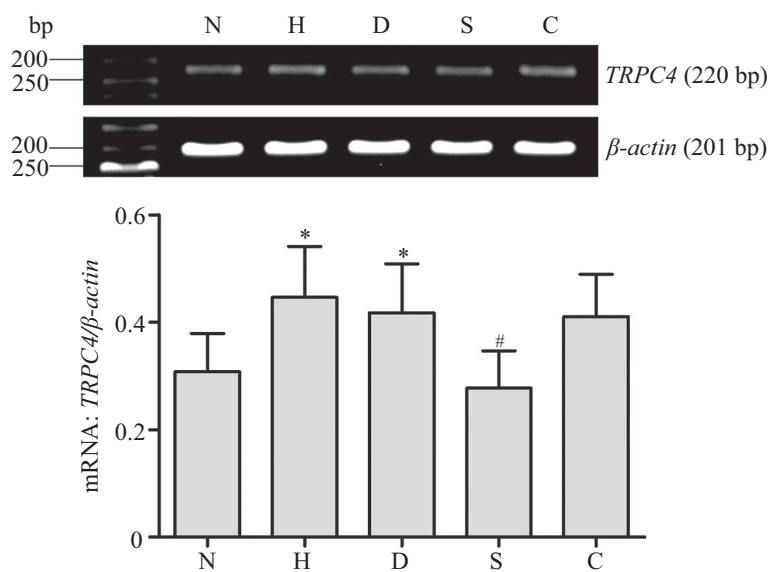
在低氧高二氧化碳条件下， $TRPC1/4$ 蛋白水平明显增高($P<0.05$)；使用抑制剂SKF-96365后 $TRPC1/4$ 蛋白水平明显降低($P<0.05$ 、 $P<0.01$)；C组 $TRPC1$ 蛋白水平明显增高($P<0.01$)，但 $TRPC4$



** $P<0.01$ ，与N组比较；# $P<0.05$ ，## $P<0.01$ ，与H组比较。

** $P<0.01$ vs N group; # $P<0.05$, ## $P<0.01$ vs H group.

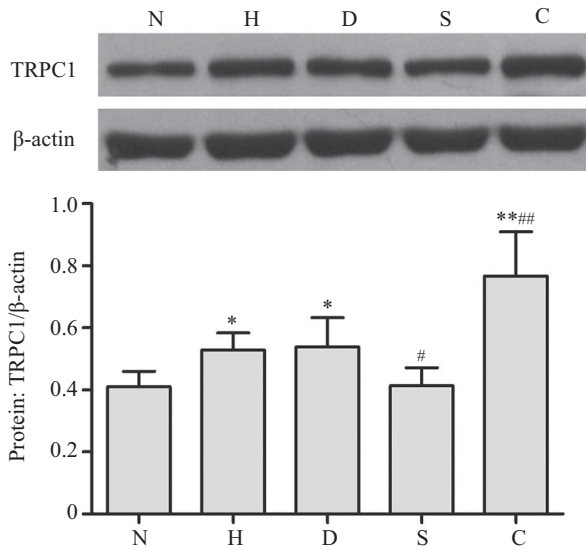
图3 各组 $TRPC1$ mRNA水平
Fig.3 $TRPC1$ mRNA level in each group



* $P<0.05$ ，与N组比较；# $P<0.05$ ，与H组比较。

* $P<0.05$ vs N group; # $P<0.05$ vs H group.

图4 各组 $TRPC4$ mRNA水平
Fig.4 $TRPC4$ mRNA level in each group

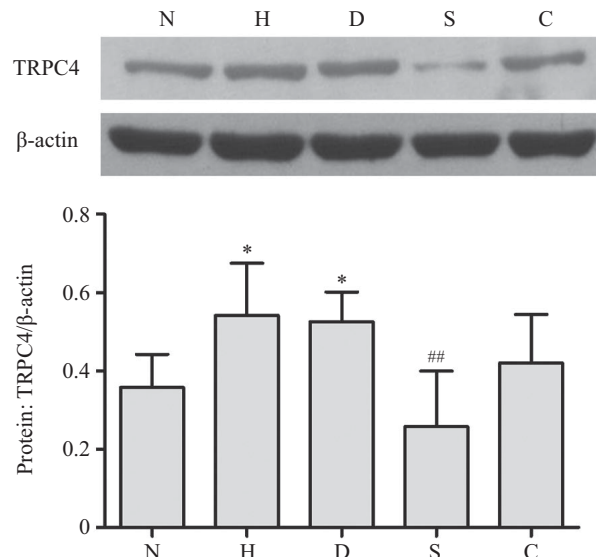


* $P<0.05$, ** $P<0.01$, 与N组比较; # $P<0.05$, ## $P<0.01$, 与H组比较。

* $P<0.05$, ** $P<0.01$ vs N group; # $P<0.05$, ## $P<0.01$ vs H group.

图5 各组TRPC1蛋白质水平

Fig.5 TRPC1 protein level in each group

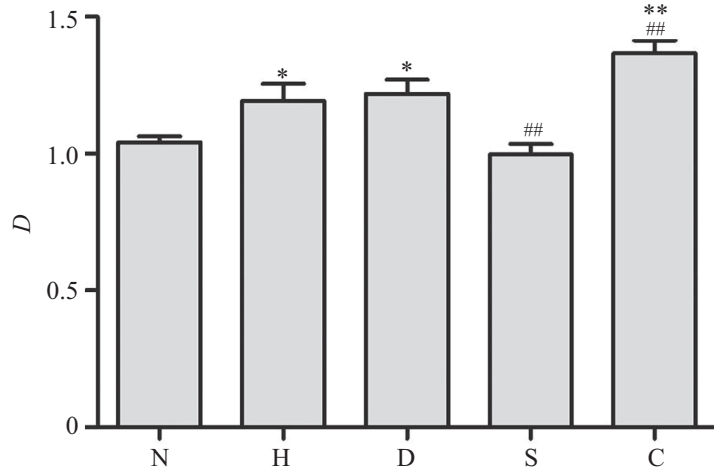


* $P<0.05$, 与N组比较; ## $P<0.01$, 与H组比较。

* $P<0.05$ vs N group; # $P<0.05$, ## $P<0.01$ vs H group.

图6 各组TRPC4蛋白质水平

Fig.6 TRPC4 protein level in each group



* $P<0.05$, ** $P<0.01$, 与N组比较; ## $P<0.01$, 与H组比较。

* $P<0.05$, ** $P<0.01$ vs N group; ## $P<0.01$ vs H group.

图7 各组细胞增殖情况的柱状图

Fig.7 Bar graph showing PAsMCs proliferation in each group

蛋白水平无明显变化($P>0.05$)(图5和图6)。

2.4 低氧高二氧化碳对PAsMCs细胞增殖的影响

低氧高二氧化碳可促进PAsMCs的增殖($P<0.05$); 使用TRPC1/4抑制剂SKF-96365后, PAsMCs增殖明显被抑制($P<0.01$), C组细胞增殖增加($P<0.01$)(图7)。

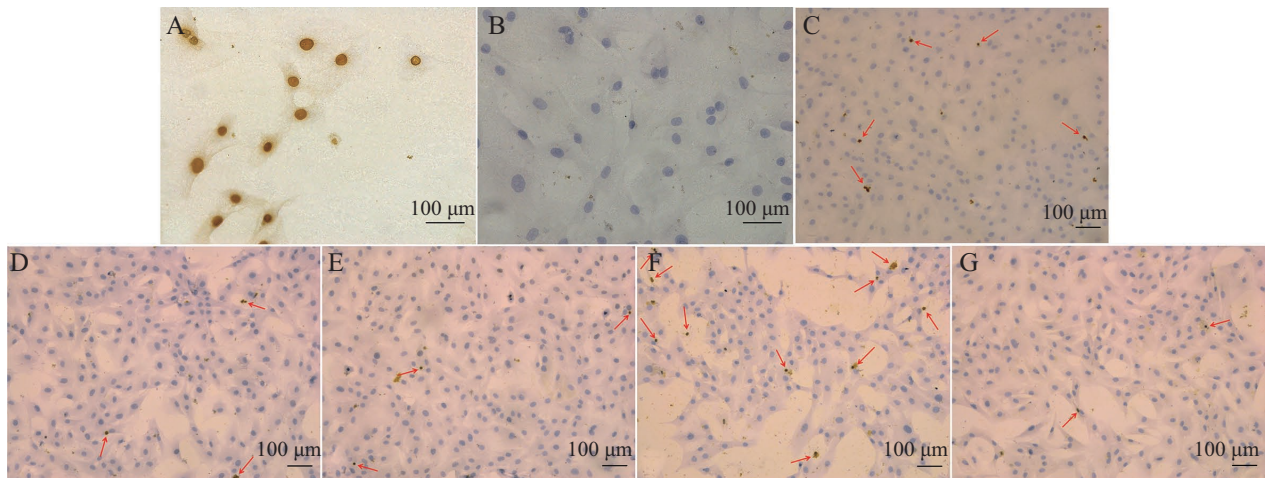
2.5 低氧高二氧化碳对各组细胞凋亡的影响

阳性对照组可见所有细胞核被染成黄褐色(图

8A), 阴性对照组所有细胞核均染成蓝色(图8B)。与N组相比, H组和D组PAsMCs凋亡减少($P<0.05$); H组和D组相比, 细胞增殖变化没有统计学意义($P>0.05$); 较之H组, S组PAsMCs凋亡明显增加($P<0.01$), C细胞凋亡减少($P<0.01$)(图8C~图8G, 图9)。

2.6 细胞内钙离子浓度

用Fura 2-AM孵育细胞后, 于荧光显微镜下可见PAsMCs胞质内游离钙离子发出绿色荧光, 细胞

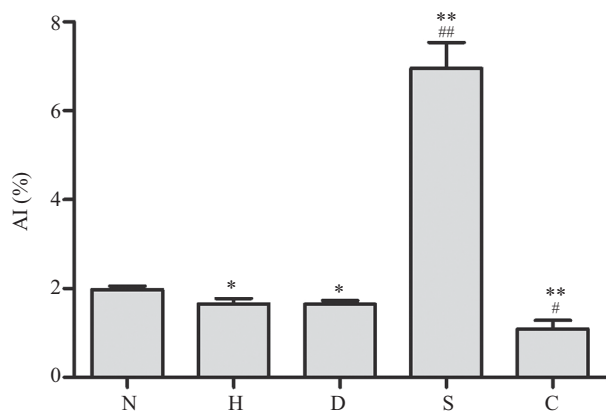


A: 阳性对照组, 均为凋亡细胞; B: 阴性对照组; C: 常氧对照组; D: 低氧高二氧化碳组; E: DMSO对照组; F: TRPC1/4抑制剂SKF-96365组; G: TRPC1/4激动剂CPA组。红色箭头所示处为凋亡细胞。

A: the positive control group; B: the negative control group; C: normoxia group; D: hypoxia and hypercapnia group; E: DMSO control group; F: TRPC1/4 inhibitor SKF-96365 group; G: TRPC1/4 activator CPA group. Red arrowheads indicate apoptotic cells.

图8 各组细胞凋亡的比较

Fig.8 PASMcs cell apoptosis in each group



* $P<0.05$, ** $P<0.01$, 与N组比较; # $P<0.05$, ## $P<0.01$, 与H组比较。

* $P<0.05$, ** $P<0.01$ vs N group; # $P<0.05$, ## $P<0.01$ vs H group.

图9 各组细胞凋亡的柱状图

Fig.9 Bar graph showing PASMcs cell apoptosis in each group

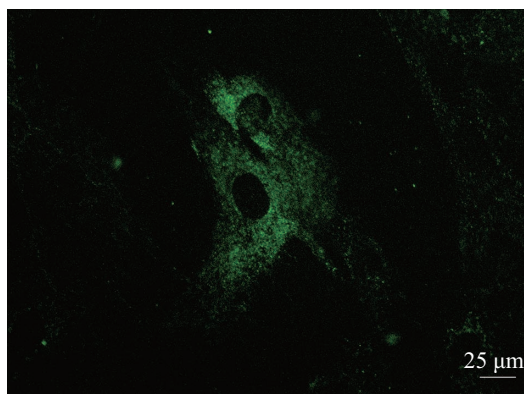
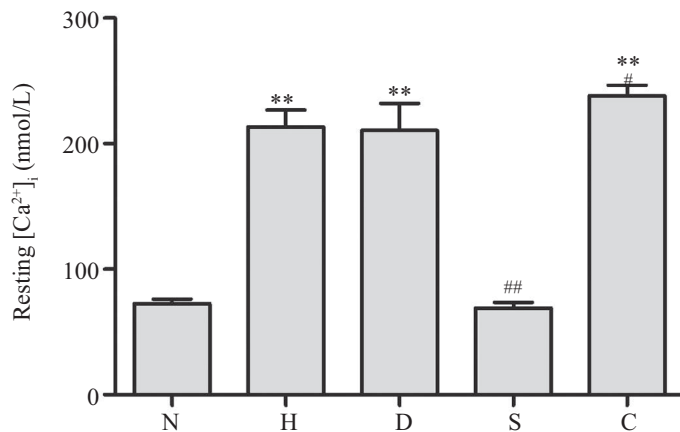


图10 PASMcs细胞内钙离子荧光染色

Fig.10 Fluorescence staining of PASMcs intracellular Ca^{2+}



** $P<0.01$, 与N组比较; $^{\#}P<0.05$, $^{##}P<0.01$, 与H组比较。

** $P<0.01$ vs N group; $^{\#}P<0.05$, $^{##}P<0.01$ vs H group.

图11 各组PASMCs细胞钙离子浓度柱状图

Fig.11 Bar graph showing PASMCs intracellular Ca^{2+} concentration in each group

核内钙离子不发荧光, 说明此方法检测的是胞质内游离钙离子, 而不包括细胞核内的钙离子(图10)。与常氧组相比, 低氧高二氧化碳条件下细胞内钙离子浓度明显增加($P<0.01$)。D组和H组细胞内钙离子浓度变化没有统计学差异($P>0.05$)。TRPC1/4抑制剂SKF-96365使低氧高二氧化碳时细胞内钙离子浓度明显降低($P<0.01$)。TRPC1/4激动剂CPA能够使细胞内钙离子浓度增高, 明显高于H组($P<0.05$) (图11)。

3 讨论

尽管以往有研究表明, PASMCs中不表达TRPC4^[15], 但本研究发现, TRPC4是有表达的, 这和王建等^[16]的研究结果也是一致的。但我们同时也发现, 检测TRPC4 mRNA时, 循环次数达到40个循环时才有明显的条带; 检测TRPC4蛋白质时, 需要增加二抗的浓度, 才能得到明显的蛋白条带, 说明TRPC4基因表达量相对较少。

钙离子作为第二信使, 在细胞内发挥着多种作用。胞内钙离子浓度增加可以激发和促进细胞周期, 能够使转录因子磷酸化从而促进基因的转录, 最终引起PASMCs的增殖。在PASMCs中, 一般认为TRPC1和TRPC4构成SOCC^[17-18]。结合本实验结果说明, 低氧高二氧化碳情况能够增加TRPC的表达, 促进钙离子内流, 使PASMCs增殖增加, 从而引起肺动脉高压。即低氧高二氧化碳能够通过TRPC-SOCC/ROCC-[Ca^{2+}]通路使PASMCs增殖增

加。

已有研究表明, 在低氧小鼠模型中, 基因敲除TRPC1能够降低右心室收缩压、动脉的肌化数量以及右心室和肺的重量, 从而降低肺动脉重构和PH^[19]。TRPC1和胞内钙离子浓度的降低能够增加Kv1.5, 从而减少PASMCs的增殖并促进其凋亡^[20]。基因敲除TRPC1可减轻低氧诱导的PASMCs的迁移, 说明TRPC1在低氧诱导的PASMCs的增殖和迁移发挥着重要的作用^[21]。以上实验结果均说明, TRPC1参与了肺血管的重构。在本实验中, 我们使用了TRPC1/4的共同抑制剂SKF-96365^[22], 结果发现, SKF-96365能够同时降低TRPC1/4基因和蛋白的表达, 并抑制PASMCs的增殖促进其凋亡。

TRPC1/4可被钙库耗竭激活, 也可用CPA和毒胡萝卜素激活^[23]。本研究发现, CPA可以通过促进TRPC1的表达, 使PASMCs增殖增加, 而凋亡率降低, 说明TRPC1参与了低氧高二氧化碳时PASMCs增殖和凋亡的调节。同时也发现, CPA组TRPC4的表达无明显变化, 可能是因为TRPC4翻译后修饰, 如泛素化。以往有研究表明, 慢性低氧时, PASMCs中TRPC1 mRNA和蛋白质水平会增加, 而TRPC4无变化^[13]。但本研究发现, 不但TRPC1在低氧高二氧化碳时有所增加, 而且TRPC4也有所增加。在野百合碱诱导的肺动脉高压大鼠中, TRPC1和TRPC4表达均增高^[24]; 在成骨蛋白4诱导的肺动脉高压模型中, TRPC1/4表达也都有增高^[13]。这说明, 在不同的肺动脉高压模型中, TRPC的表达变化并不完全一致, 可能是因为不同诱

导因子的作用机制不同。但也有研究表明, TRPC4灭活能够降低恶性肺动脉高压相关的死亡率^[25], 说明TRPC4与肺动脉高压的发生可能也存在着一定的关系。

综上所述, 在低氧高二氧化碳大鼠PASMCs模型中, TRPC1/4的表达都明显增加, 且PASMCs增殖增加和凋亡率减少, 当使用TRPC1/4抑制剂后, PASMCs的增殖被抑制, 而使用TRPC1激动剂后增殖增加, 说明TRPC1在低氧高二氧化碳PASMCs增殖和凋亡中发挥着关键作用, 阻止PASMCs中TRPC蛋白质水平是治疗肺动脉高压的一个新的、有效的下游治疗靶点。

参考文献 (References)

- 1 Wang G, Liu X, Meng L, Liu S, Wang L, Li J, et al. Up-regulated lipocalin-2 in pulmonary hypertension involving in pulmonary artery SMC resistance to apoptosis. *Int J Biol Sci* 2014; 10(7): 798-806.
- 2 Mao SZ, Fan XF, Xue F, Chen R, Chen XY, Yuan GS, et al. Intermedin modulates hypoxic pulmonary vascular remodeling by inhibiting pulmonary artery smooth muscle cell proliferation. *Pulm Pharmacol Ther* 2014; 27(1): 1-9.
- 3 Wang Y, Lu W, Yang K, Wang Y, Zhang J, Jia J, et al. Peroxisome proliferator-activated receptor gamma inhibits pulmonary hypertension targeting store-operated calcium entry. *J Mol Med* 2015; 93(3): 327-42.
- 4 Yamamura A, Yamamura H, Zeifman A, Yuan JX. Activity of Ca^{2+} -activated Cl^- channels contributes to regulating receptor- and store-operated Ca^{2+} entry in human pulmonary artery smooth muscle cells. *Pulm Circ* 2011; 1(2): 269-79.
- 5 Jiang HN, Zeng B, Zhang Y, Daskoulidou N, Fan H, Qu JM, et al. Involvement of TRPC channels in lung cancer cell differentiation and the correlation analysis in human non-small cell lung cancer. *PLoS One* 2013; 8(6): e67637.
- 6 Ariano P, Dalmazzo S, Owsianik G, Nilius B, Lovisolo D. TRPC channels are involved in calcium-dependent migration and proliferation in immortalized GnRH neurons. *Cell Calcium* 2011; 49(6): 387-94.
- 7 Villalta PC, Townsley MI. Transient receptor potential channels and regulation of lung endothelial permeability. *Pulm Circ* 2013; 3(4): 802-15.
- 8 Forrest AS, Angermann JE, Raghunathan R, Lachendro C, Greenwood IA, Leblanc N. Intricate interaction between store-operated calcium entry and calcium-activated chloride channels in pulmonary artery smooth muscle cells. *Adv Exp Med Biol* 2010; 661: 31-55.
- 9 Zhang Y, Lu W, Yang K, Xu L, Lai N, Tian L, et al. Bone morphogenetic protein 2 decreases TRPC expression, store-operated Ca^{2+} entry, and basal $[\text{Ca}^{2+}]_i$ in rat distal pulmonary arterial smooth muscle cells. *Am J Physiol Cell Physiol* 2013; 304(9): C833-43.
- 10 Ikeda K, Nakajima T, Yamamoto Y, Takano N, Tanaka T, Kikuchi H, et al. Roles of transient receptor potential canonical (TRPC) channels and reverse-mode $\text{Na}^+/\text{Ca}^{2+}$ exchanger on cell proliferation in human cardiac fibroblasts: Effects of transforming growth factor $\beta 1$. *Cell Calcium* 2013; 54(3): 213-25.
- 11 Ooi H, Cadogan E, Sweeney M, Howell K, O'Regan RG, McLoughlin P. Chronic hypercapnia inhibits hypoxic pulmonary vascular remodeling. *Am J Physiol Heart Circ Physiol* 2000; 278(2): H331-8.
- 12 Li X, Lu W, Fu X, Zhang Y, Yang K, Zhong N, et al. BMP4 increases canonical transient receptor potential protein expression by activating p38 MAPK and ERK1/2 signaling pathways in pulmonary arterial smooth muscle cells. *Am J Respir Cell Mol Biol* 2013; 49(2): 212-20.
- 13 Wang J, Weigand L, Lu W, Sylvester JT, Semenza GL, Shimoda LA. Hypoxia inducible factor 1 mediates hypoxia-induced TRPC expression and elevated intracellular Ca^{2+} in pulmonary arterial smooth muscle cells. *Circ Res* 2006; 98(12): 1528-37.
- 14 Xu D, Niu W, Luo Y, Zhang B, Liu M, Dong H, et al. Endogenous estrogen attenuates hypoxia-induced pulmonary hypertension by inhibiting pulmonary arterial vasoconstriction and pulmonary arterial smooth muscle cells proliferation. *Int J Med Sci* 2013; 10(6): 771-81.
- 15 Lin MJ, Leung GP, Zhang WM, Yang XR, YiP KP, Tse CM, et al. Chronic hypoxia-induced upregulation of store-operated and receptor-operated Ca^{2+} channels in pulmonary arterial smooth muscle cells: A novel mechanism of hypoxic pulmonary hypertension. *Circ Res* 2004; 95(5): 496-505.
- 16 Yu Y, Fantozzi I, Remillard CV, Landsberg JW, Kunichika N, Platoshy O, et al. Enhanced expression of transient receptor potential channels in idiopathic pulmonary arterial hypertension. *Proc Natl Acad Sci USA* 2004; 101(38): 13861-6.
- 17 Lu W, Ran P, Zhang D, Lai N, Zhong N, Wang J. Bone morphogenetic protein 4 enhances canonical transient receptor potential expression, store-operated Ca^{2+} entry, and basal $[\text{Ca}^{2+}]_i$ in rat distal pulmonary arterial smooth muscle cells. *Am J Physiol Cell Physiol* 2010; 299(6): C1370-8.
- 18 Sundivakkam PC, Freichel M, Singh V, Yuan JP, Vogel SM, Flockerzi V, et al. The Ca^{2+} sensor stromal interaction molecule 1 (STIM1) is necessary and sufficient for the store-operated Ca^{2+} entry function of transient receptor potential canonical (TRPC) 1 and 4 channels in endothelial cells. *Mol Pharmacol* 2012; 81(4): 510-26.
- 19 Sun CK, Zhen YY, Lu HI, Sung PH, Chang LT, Tsai TH, et al. Reducing TRPC1 expression through liposome-mediated siRNA delivery markedly attenuates hypoxia-induced pulmonary arterial hypertension in a murine model. *Stem Cells Int* 2014; 2014: 316214.
- 20 Dai F, Mao Z, Xia J, Zhu S, Wu Z. Fluoxetine protects against big endothelin-1 induced anti-apoptosis by rescuing Kv1.5 channels in human pulmonary arterial smooth muscle cells. *Yonsei Med J* 2012; 53(4): 842-8.
- 21 Wang J, Jiang Q, Wan L, Yang K, Zhang Y, Chen Y, et al. Sodium tanshinone IIA sulfonate inhibits canonical transient receptor potential expression in pulmonary arterial smooth muscle from pulmonary hypertensive rats. *Am J Respir Cell Mol Biol* 2013; 48(1): 125-34.
- 22 Maier T, Follmann M, Hessler G, Kleemann HW, Hachtel S, Fuchs B, et al. Discovery and pharmacological characterization

- of a novel potent inhibitor of diacylglycerol-sensitive TRPC cation channels. Br J Pharmacol 2015; 172(14): 3650-60.
- 23 Yang XR, Lin MJ, Sham JS. Physiological functions of transient receptor potential channels in pulmonary arterial smooth muscle cells. Adv Exp Med Biol 2010; 661: 109-22.
- 24 Liu XR, Zhang MF, Yang N, Liu Q, Wang RX, Cao YN, *et al.* Enhanced store-operated Ca^{2+} entry and TRPC channel expression in pulmonary arteries of monocrotaline-induced pulmonary hypertensive rats. Am J Physiol Cell Physiol 2012; 302(1): C77-87.
- 25 Alzoubi A, Almalouf P, Toba M, O'Neill K, Qian X, Francis M, *et al.* TRPC4 inactivation confers a survival benefit in severe pulmonary arterial hypertension. Am J Pathol 2013; 183(6): 1779-88.